

**Neutrino absorption by  $W$   
production in the presence of  
a magnetic field**

**XXI REUNION ANUAL  
DE LA  
DIVISION DE PARTICULAS  
Y CAMPOS-SMF**

# Introducción

- El estudio de la creación, propagación y absorción de neutrinos en un medio es importante en varios ambientes astrofísicos y cosmológicos.
- La idea de realizar estos cálculos considerando un campo magnético clásico viene del hecho de que la mayoría de los objetos astrofísicos tienen un campo magnético asociado.

# ¿Por qué la producción de $W$ ?

- El proceso por el cual un neutrino ultra energético crea un  $W$  real, es un proceso de segundo orden en la constante de acoplamiento débil por lo que existe una energía a partir de la cual este proceso se vuelve dominante.

# Modos de decaimiento del W

<b>W<sup>+</sup> DECAY MODES</b>	Fraction ( $\Gamma_i/\Gamma$ )	Confidence level	$p$ (MeV/c)
$l^+ \nu$	[b] (10.80 ± 0.09) %		—
$e^+ \nu$	(10.75 ± 0.13) %		40201
$\mu^+ \nu$	(10.57 ± 0.15) %		40201
$\tau^+ \nu$	(11.25 ± 0.20) %		40182
hadrons	(67.60 ± 0.27) %		—
$\pi^+ \gamma$	< 8	$\times 10^{-5}$	95% 40201
$D_s^+ \gamma$	< 1.3	$\times 10^{-3}$	95% 40177
$cX$	(33.4 ± 2.6) %		—
$c\bar{s}$	(31 <sup>+13</sup> <sub>-11</sub> ) %		—
invisible	[c] ( 1.4 ± 2.8 ) %		—

# Teoría de campo a temperatura finita (FTFT)

- En la FTFT, la cantidad de interés fundamental es la autoenergía  $\Sigma$ .
- Fermiones sin masa (de momento  $k^\mu$ ) se describen a través de la ecuación de Dirac

$$(k - \Sigma_{eff})\Psi = 0$$

- La autoenergía se puede escribir en términos de una parte dispersiva y otra de absorción

$$\Sigma_{eff} = \Sigma_r + i\Sigma_i$$

- La parte real de la autoenergía se relaciona con la dispersión y la parte imaginaria con la absorción.

$$\Sigma_r = \Sigma_{11r}$$

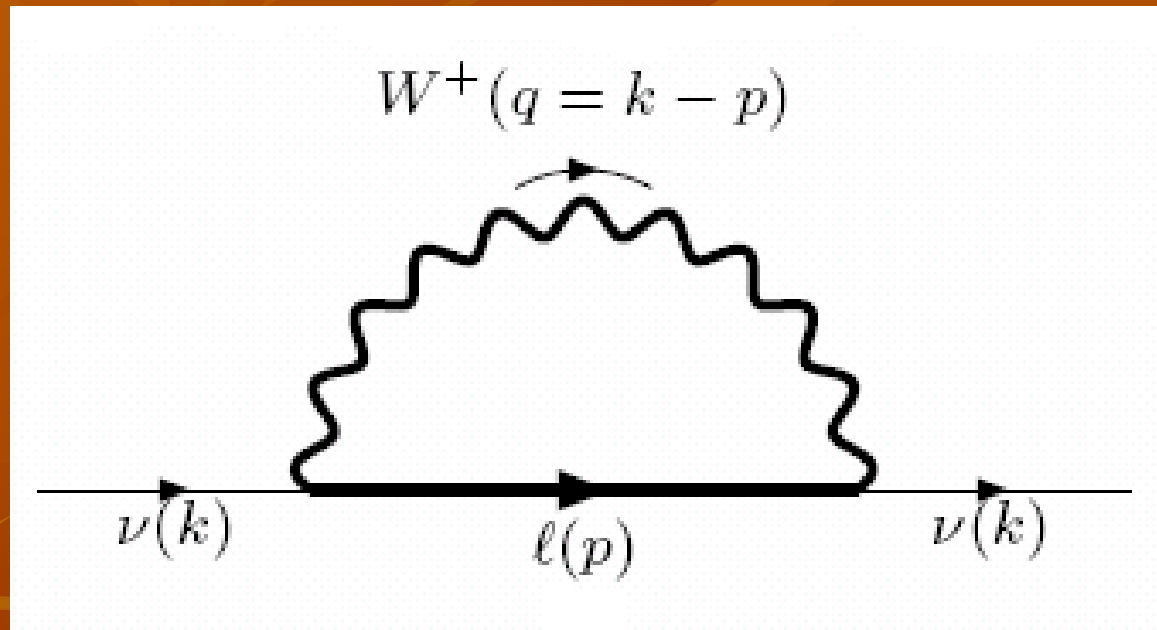
$$\Sigma_i = \frac{\Sigma_{11i}}{1 - 2\eta_f}$$

# Tasa de amortiguamiento

- La tasa de amortiguamiento  $\gamma$  se relaciona con la parte imaginaria de la autoenergía.

$$\gamma = -\frac{1}{2E_\nu} \text{Tr} [k \Sigma_{im}(k)]$$

# Autoenergía en un campo magnético



$$-i\Sigma(k) = \int \frac{d^4p}{(2\pi)^4} \left( -i\frac{g}{\sqrt{2}} \right) \gamma_\mu LiS_e(p) \left( -i\frac{g}{\sqrt{2}} \right) \gamma_\nu LiW^{\mu\nu}(q)$$

# Propagador del electrón en un campo magnético

$$S_e(p) = S_e^0(p) - iS_e^\beta(p)$$

donde

$$S_e^0(p) = i \int_0^\infty ds e^{\phi(p,s)} G(p,s)$$

y

$$S_e^\beta(p) = -i\eta_F(p \cdot u) \int_{-\infty}^\infty e^{\phi(p,s)} G(p,s) ds$$

# Definiciones usadas

$$\phi(p, s) = is(p_0^2 - m_\ell^2) - is\left[p_3^2 + \frac{\tan z}{z} p_\perp^2\right]$$

$$G(p, s) = \sec^2 z [A + iB\gamma_5 + m_\ell(\cos^2 z - i\Sigma^3 \sin z \cos z)]$$

$$A_\mu = p_\mu - \sin^2 z (p \cdot u u_\mu - p \cdot b b_\mu)$$

$$B_\mu = \sin z \cos z (p \cdot u b_\mu - p \cdot b u_\mu)$$

$$u^\mu = (1, \mathbf{0})$$

$$b^\mu = (0, 0, 0, 1)$$

Aquí se considera al campo magnético en el eje z y al medio en reposo.

$$F^{12} = -F^{21} = B$$

# Propagador del bosón W

En el límite de campo débil y considerando la norma unitaria

$$\xi = 0$$

el propagador se puede escribir como

$$W^{\mu\nu}(q) = -\frac{1}{q^2 - M_W^2} \left[ g^{\mu\nu} - \frac{1}{M_W^2} (q^\mu q^\nu + \frac{ie}{2} F^{\mu\nu}) \right] + \frac{2ieF^{\mu\nu}}{(q^2 - M_W^2)^2}$$

# Autoenergía

$$\Sigma(k) = i\frac{g^2}{2} \int \frac{d^4 p}{(2\pi)^4} R\gamma_\mu \int_0^\infty ds_1 \int_0^\infty ds_2 e^{\phi(p, s_1)} G(p, s_1) \gamma_\nu L$$
$$\times \left[ -g^{\mu\nu} + \frac{1}{M^2}(q^\mu q^\nu + \frac{ie}{2}F_{\mu\nu}) + 2es_2 F^{\mu\nu} \right] e^{is_2(q^2 - M^2)}$$

$$\Sigma(k) = \Sigma_0^1(k) + \Sigma_0^2(k) + \Sigma_0^3(k) + \Sigma_0^4(k)$$

# Coeficiente de absorción

$$\gamma = -\frac{1}{2E_\nu} \text{Tr} [k \Sigma_{im}(k)]$$

Cada término de la autoenergía lo podemos escribir como

$$\Sigma^i(k) = f_1 k_{\parallel(\perp)} + f_2(k_0 \not{b} - k_3 \not{u})$$

Al sacar la traza

$$\text{Tr}[k(k_0 \not{b} - k_3 \not{u})] = 0.$$

Si definimos

$$s = Tr [k \Sigma_{im}(k)]$$

$$S = S_1 + S_2 + S_3 + S_4$$

$$S_1 = \frac{g^2}{(4\pi)^2} \beta \eta^2 \int_0^\infty dz \int_0^{1/\eta} du e^{\Delta_0 u} 4k_\perp \left(-\frac{1}{3}\right) \beta z (1 - u\eta)^2 (2 + u\eta)$$

$$S_2 = \frac{g^2}{M_W^4} \frac{eB}{(4\pi)^2} \int_0^\infty dz \int_0^{1/\eta} du e^{\Delta_0 u} \\ \times (-ieB)(-4k_\perp^2) \left[ \frac{1}{45} u\eta (u\eta - 1)^2 (2(\beta z)^2 (25u^2\eta^2 - 38u\eta - 2)(u\eta - 1)^2 + 15(4u\eta - 7)) \right]$$

$$S_3 = -eB \frac{g^2}{2M_W^2} \frac{\beta \eta^2}{(4\pi)^2} \int_0^\infty dz \int_0^{1/\eta} du e^{\Delta_0 u} - 4k_\perp^2 \left(-\frac{1}{3}\right) (u\eta - 1) ((\beta z)^2 u\eta (u\eta - 1)^2 + 3)$$

$$S_4 = -2 \frac{g^2}{(4\pi)^2} \beta^2 \eta^3 \int_0^\infty dz \int_0^{1/\eta} du e^{\Delta_0 u} z u^2 (-4k_\perp^2) \left(-\frac{1}{3}\right) (u\eta - 1) [(\beta z)^2 u\eta (u\eta - 1)^2 + 3]$$

$$\eta = \frac{m_e^2}{M_W^2} = 4.0376 \times 10^{-11}$$

$$\beta = \frac{eB}{m_e^2}$$

$$\Delta_0 = -iz \left[ 1 - u\eta + u + \frac{1}{3} \frac{k_{\perp}^2}{m_e^2} \left( \frac{eB}{M_W^2} \right)^2 (uz)^2 (1 - u\eta)^3 \right]$$

Entonces

$$s = 4k_{\perp}^2 \frac{g^2}{16\pi^2} \frac{\beta^2 \eta^2}{3\sqrt{3}} \int_0^{\infty} du (\eta u - 1) u$$
$$\times \left[ \frac{11\eta (1+u)^{1/2}}{2 \xi^{1/3} u^{1/3}} K_{1/3} \left( \frac{2(1+u)^{3/2}}{3 \xi u} \right) \right.$$
$$\left. + 2 \frac{(1+u)^2}{\xi^{4/3} u^{4/3}} K_{2/3} \left( \frac{2(1+u)^{3/2}}{3 \xi u} \right) \right]$$

donde

$$\xi = \frac{k_{\perp}}{m_e} \frac{eB}{M_W^2}$$

# Resultados preliminares

- Se obtuvo una ecuación explícita para la tasa de amortiguamiento de los neutrinos dentro de un campo magnético débil.
- Se obtuvo un parámetro adimensional  $\xi$  que discrimina los valores para los cuales la producción de  $W$  reales es considerable.